

Представление зарядово-обменного процесса
 $nd \rightarrow p(nn)$ под 0°
в рамках упругого рассеяния $np \rightarrow np$ на 180°
Эксперимент «Дельта-Сигма»

ШИНДИН Роман
ЛФВЭ ОИЯИ

Семинар
Релятивистская ядерная динамика
ЛТФ ОИЯИ, 30 января 2020 г.

- 1 Введение
- 2 Теория
- 3 Отношения R_{dp} и $r_{np \rightarrow pn}^{nfl/fl}$ при $T_n = 0.5 \div 2.0 \text{ ГэВ}$
- 4 Заключение
- 5 Приложение

- ① Проект Дельта-Сигма
 - ① Поляризованная Протонная Мишень
 - ② Измерения $\Delta\sigma_L(np)$, 1995 – 2001 г.
 - ③ Катушки для Т-поляризации
- ② Гипотеза Померанчука-Чью
- ③ Формула Дина
- ④ Конец привлекательной сказки ...

Начало проекта Дельта-Сигма — 1990 г. Название созвучно его замыслу — измерить наблюдаемые $\Delta\sigma_L(np)$ и $\Delta\sigma_T(np)$ — разности полных сечений при параллельном и антипараллельном состоянии спинов нейтрона и протона, маркеры L и T — направление поляризации спинов частиц пучка и мишени в продольном и поперечном направлениях.

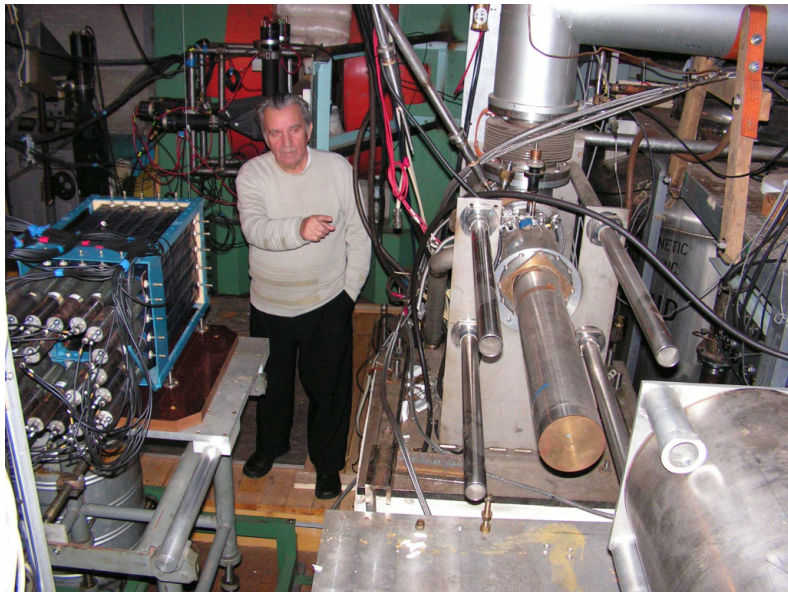
Основная задача — прямое восстановление трёх амплитуд упругого NN-рассеяния под нулём градусов. Для полного комплекта данных необходимо также измерить коэффициенты спиновых корреляций $A_{00kk}(np)$ и $A_{00nn}(np)$. Шесть наблюдаемых ($\sigma_{0tot}(np)$ и $d\sigma/dt_{np \rightarrow np}$ известны) позволят найти три вещественные и три мнимые части NN-амплитуд.

С. М. Биленький, Л. И. Лapidус, Р. М. Рындин, **Поляризованная протонная мишень в опытах с частицами высоких энергий**, УСП. ФИЗ. НАУК. 1964. Октябрь. Т. 84. С 243–301.

J. Bystrycky, F. Lehar, P. Wintrenitz **Formalism of nucleon-nucleon elastic scattering experiments**, Le Journal de Physique. 1978. V. 39, № 1. P. 1–32.

F. Lehar et al. **Measurement of the spin dependent neutron-proton total cross section differences $\Delta\sigma_T$ and $\Delta\sigma_L$ between 0.63 and 1.08 GeV**, Phys. Lett. 1987. 30 April. V. B, № 189. P. 241–244.

Мишень с замороженными спинами



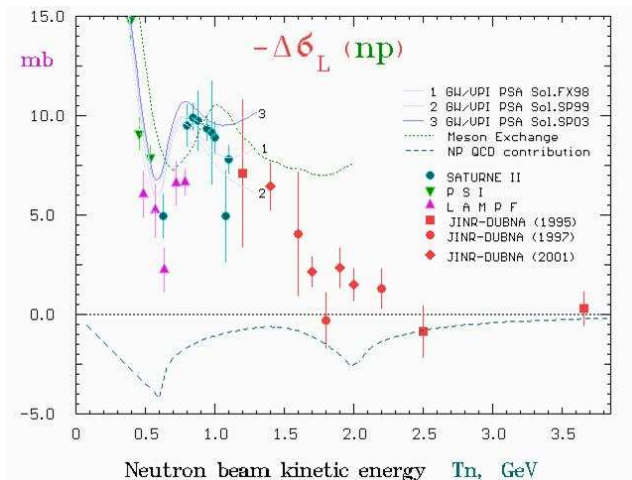
F. Lehar et al. **The movable polarized target as a basic equipment for high energy spin physics experiments at the JINR-Dubna accelerator complex**, Nucl. Instr. Meth. A. 1995. V. 356. P. 58–61.

B. P. Adiasovich et al. **Measurements of the total cross section difference $\Delta\sigma_L(np)$ in np transmission at 1.19, 2.49 and 3.65 GeV**, Zeit. Phys. 1996. V. C, № 71. P. 65–74.

V. I. Sharov, L. N. Strunov et al., **Measurements of the total cross section difference $\Delta\sigma_L(np)$ at 1.59, 1.79 and 2.20 GeV**, Eur. Phys. J. 2000. V. C, № 13. P. 255–265.

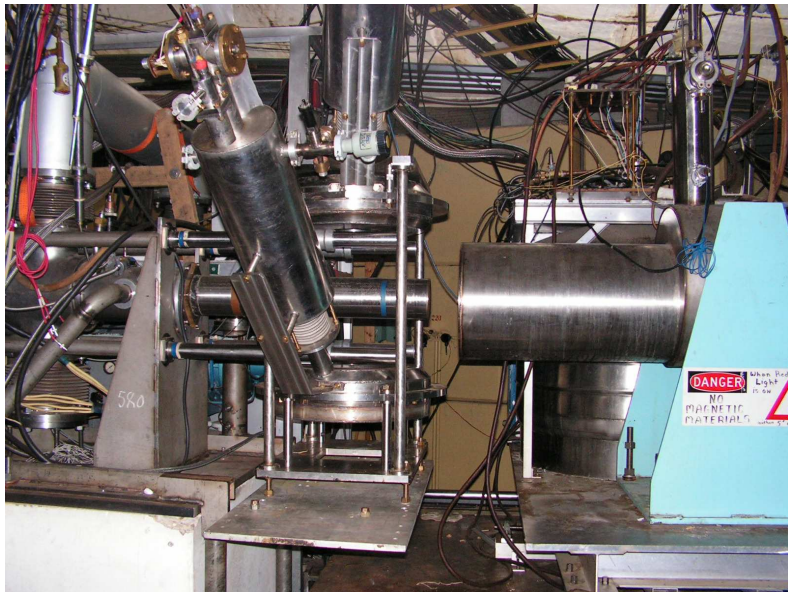
V. I. Sharov, L. N. Strunov et al., **Measurements of the total cross section difference $\Delta\sigma_L(np)$ at 1.39, 1.69, 1.89 and 1.99 GeV** Eur. Phys. J. 2004. V. C, № 37. P. 79–90, Physics of Atomic Nuclei 2005. V. 68, № 11. P. 1796–1811,.

Энергозависимость $\Delta\sigma_L(np)$

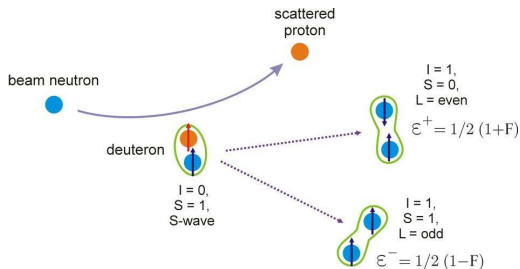


Энергозависимость разности полных сечений $\Delta\sigma_L = \sigma(\Rightarrow) - \sigma(\Leftarrow)$ взаимодействия нейтрона и протона с параллельным и антипараллельным состоянием спинов. Особенность возле $T_n = 1.8$ ГэВ может быть связана с фазовым переходом двух нуклонов в конфигурацию из шести кварков.

Сверхпроводящие катушки для Т-моды



Гипотеза Померанчука-Чью



Получить спиновые характеристики взаимодействия нуклонов, используя неполяризованные нейтроны и дейтроны.

И. Я. Померанчук, **Обменные столкновения быстрых нейтронов с дейтронами**, Доклады Академии Наук. 1951. Т. LXXVII. С. 249.

И. Я. Померанчук, *Собрание научных трудов. Физика Элементарных частиц. Сильные взаимодействия*. Издательство «НАУКА», Москва 1972. Т. III. С. 14–27.

G. F. Chew, **The Inelastic Scattering of High Energy Neutrons by Deuterons According to the Impulse Approximation**, Phys. Rev. 1950. V. 80. P. 196–202.

G. F. Chew, **A Theoretical Calculation of the Inelastic Scattering of 90-Mev Neutrons by Deuterons**, Phys. Rev. 1951. V. 84. P. 710–716.

А. Б. Мигдал, **Теория ядерных реакций с образованием медленных частиц**, ЖЭТФ. 1955. Т. 28. С 3–9. Доложено на теор. семинаре в Институте физических проблем, октябрь 1950 г.

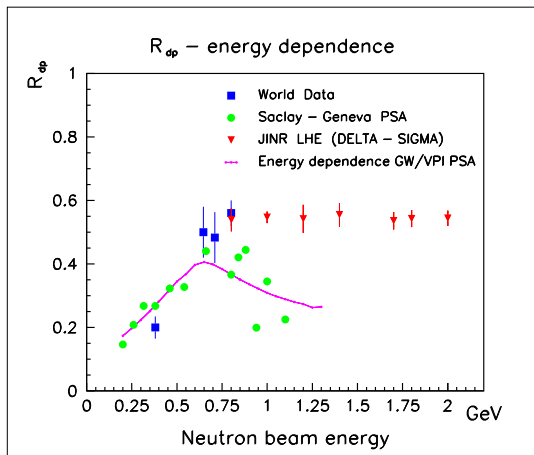
$$\frac{d\sigma(0)}{d\Omega}_{nd\rightarrow p(nn)} = \frac{2}{3} \cdot \frac{d\sigma(0)^{\text{Flip}}}{d\Omega}_{np\rightarrow pn} \quad (1)$$

$$r_{np\rightarrow pn}^{\text{nfl/fl}}(0) = \frac{d\sigma(0)^{\text{Non-Flip}}}{dt}_{np\rightarrow pn} / \frac{d\sigma(0)^{\text{Flip}}}{dt}_{np\rightarrow pn} = \frac{2}{3} \cdot \frac{1}{R_{dp}(0)} - 1 \quad (2)$$

N. W. Dean, [Symmetrization Effect in Spectator Momentum Distribution](#),
Phys. Rev. D. 1972. V. 5, № 7. P. 1661–1666.

N. W. Dean, [Inelastic Scattering from Deuteron in the Impulse Approximation](#),
Phys. Rev. D. 1972. V. 5, № 11. P. 2832–2835.

V. L. Lyuboshitz *et al.*, [Charge-exchange breakup of the deuteron with the production of two protons and spin structure of the amplitude of the transfer reaction](#), JINR Preprint, E1-99-280, 1999.

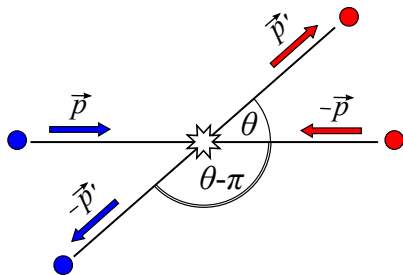


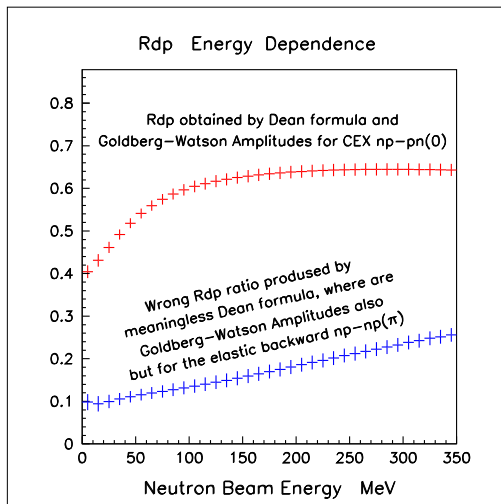
«Конец привлекательной сказки и неожиданные результаты на нуклотроне», газета «Дубна». 2005. 2 декабря. № 47. С. 2–3. **Франтишек Легар**

Речь пойдет о том, как физики из группы Василия Шарова и Леонида Струнова в рамках программы исследований на экспериментальной установке «ДЕЛЬТА-СИГМА» в Лаборатории высоких энергий, более-менее независимо от своего желания и убеждения окончательно уничтожили одну очень привлекательную теорию. Надо добавить, что сделали они это благодаря своей совести и этике научной работы, с помощью нового сверхпроводящего ускорителя, заранее полученного нейтронного пучка, современной аппаратуры и вычислительной техники.

55 лет тому назад: Г. Ф. Чью (G.F. Chew) из Беркли (Berkeley), и И. Померанчук из Москвы, оба теоретики, практически одновременно и независимо предложили метод, как определить часть взаимодействия нейтрона и протона, которая зависит от спина. Правда только в случае, если нейтрон и протон обмениваются зарядом, что обычно называется перезарядкой, или рассеянием назад.

What's happening





► Любошиц

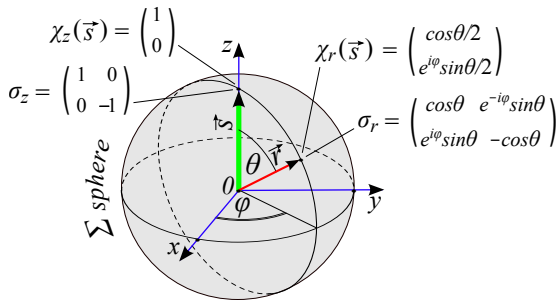
► BLW

► One more

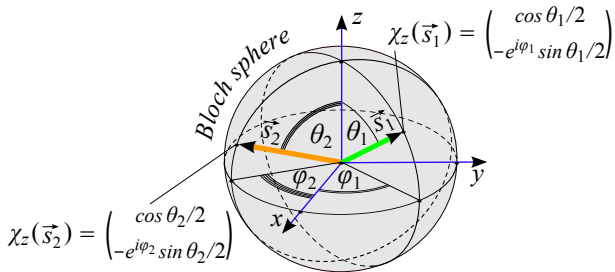
- 1 Волновая функция двух фермионов
 - 1 Принцип запрета Паули
- 2 Упругое рассеяния фермионов
 - 1 Рассеянная волна в плоскости реакции
 - 2 Смена представления
 - 3 Обобщение для нуклонов
- 3 Квазиупругая реакция $nd \rightarrow p(nn)$
 - 1 Формула Дина
 - 2 Новая формула
 - 3 Эквивалентность формы
- 4 Катастрофа PSA?

$$\hat{\sigma} = \vec{i}\sigma_x + \vec{j}\sigma_y + \vec{k}\sigma_z, \quad \text{где:}$$

$$\sigma_x = \begin{pmatrix} 0 & 1 \\ 1 & 0 \end{pmatrix}, \quad \sigma_y = \begin{pmatrix} 0 & -i \\ i & 0 \end{pmatrix}, \quad \sigma_z = \begin{pmatrix} 1 & 0 \\ 0 & -1 \end{pmatrix}.$$



Проекция $\hat{\sigma}$ на любое направление \vec{r} равна единице: $|\sigma_r|^2 = 1$, что можно представить в виде Σ -сферы. Каждой её точке соответствует оператор $\sigma_r = (\hat{\sigma}, \vec{r})$, имеющий два собственных вектора $\chi_r(s_z = +\frac{\hbar}{2})$ и $\chi_r(s_z = -\frac{\hbar}{2})$.



Независимость фермионов факторизует их общую функцию: $\chi_{12} = \chi_1 \chi_2$.

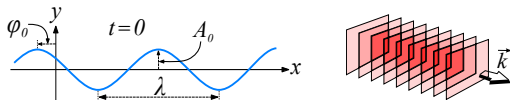
Свобода нумерации — два варианта:

$$|\vec{s}_1, \vec{s}_2\rangle = \begin{pmatrix} \alpha \\ \beta \end{pmatrix}_1 \begin{pmatrix} \gamma \\ \delta \end{pmatrix}_2, \quad |\vec{s}_2, \vec{s}_1\rangle = \begin{pmatrix} \gamma \\ \delta \end{pmatrix}_1 \begin{pmatrix} \alpha \\ \beta \end{pmatrix}_2,$$

$$|\alpha|^2 + |\beta|^2 = |\gamma|^2 + |\delta|^2 = 1.$$

Пространственная часть волны

$e^{i(\vec{k}\vec{r}-\omega t)}$ — плоская волна, т.к. $\vec{k}\vec{r} = \text{const}$ — поверхность $\perp \vec{k}$.



$$e^{\frac{i}{\hbar}\vec{p}\vec{r}} = \psi_p(\vec{r}) = |\vec{p}\rangle.$$

Две частицы:

$$|\vec{p}_1, \vec{p}_2\rangle = |\vec{p}_1\rangle_1 |\vec{p}_2\rangle_2, \quad |\vec{p}_2, \vec{p}_1\rangle = |\vec{p}_2\rangle_1 |\vec{p}_1\rangle_2.$$

В системе центра масс:

$$\psi_{12} = e^{\frac{i}{\hbar}\vec{p}\vec{r}}, \quad \psi_{21} = e^{-\frac{i}{\hbar}\vec{p}\vec{r}} = \psi_{12}^*, \quad \text{где: } \vec{r} = \vec{r}_1 - \vec{r}_2.$$

Принцип запрета Паули

Два тождественных фермиона не могут находиться в одном и том же состоянии
⇒ волновая функция антисимметрична относительно перестановки:

$$\Psi = |\vec{p}_1, \vec{s}_1; \vec{p}_2, \vec{s}_2\rangle = -|\vec{p}_2, \vec{s}_2; \vec{p}_1, \vec{s}_1\rangle.$$

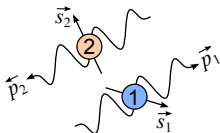
$$\Psi = \frac{1}{\sqrt{2}} \begin{vmatrix} |\vec{p}_1, \vec{s}_1\rangle_1 & |\vec{p}_2, \vec{s}_2\rangle_1 \\ |\vec{p}_1, \vec{s}_1\rangle_2 & |\vec{p}_2, \vec{s}_2\rangle_2 \end{vmatrix}.$$

Или:

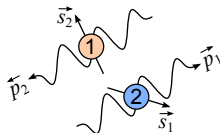
$$\Psi = \frac{1}{\sqrt{2}} \left[\begin{pmatrix} \alpha \\ \beta \end{pmatrix}_1 \begin{pmatrix} \gamma \\ \delta \end{pmatrix}_2 \psi_{12} - \begin{pmatrix} \gamma \\ \delta \end{pmatrix}_1 \begin{pmatrix} \alpha \\ \beta \end{pmatrix}_2 \psi_{12}^* \right]. \quad (3)$$

Полная перестановка не меняет конфигурацию

Частица, имеющая спин \vec{s}_1 , летит по направлению \vec{p}_1 , присвоен ли ей номер 1 или 2. Также связаны между собой состояния \vec{s}_2 и \vec{p}_2 другого фермиона.



$$|\vec{p}_1, \vec{s}_1\rangle_1 |\vec{p}_2, \vec{s}_2\rangle_2$$



$$|\vec{p}_2, \vec{s}_2\rangle_1 |\vec{p}_1, \vec{s}_1\rangle_2$$

Лемма (Wave conditions)

Свободная волновая функция однозначно определяет квантовые состояния каждой частицы. Нумерация частиц значения не имеет.

► Блохинцев

Волну (3) можно преобразовать к виду:

$$\begin{aligned} \Psi = & \frac{1}{\sqrt{2}}(\alpha\delta - \beta\gamma)\chi_0\psi_s + \\ & + \alpha\gamma\chi_{1,+1}\psi_a + \frac{1}{\sqrt{2}}(\alpha\delta + \beta\gamma)\chi_{1,0}\psi_a + \beta\delta\chi_{1,-1}\psi_a. \end{aligned} \quad (4)$$

ψ_s и ψ_a — чётная и нечётная пространственные функции:

$$\psi_s = \frac{\psi_{12} + \psi_{12}^*}{\sqrt{2}} \quad \text{и} \quad \psi_a = \frac{\psi_{12} - \psi_{12}^*}{\sqrt{2}}.$$

χ_0 — спин $S = 0$,

$\chi_{1,+1}$, $\chi_{1,0}$ и $\chi_{1,-1}$ — спин $S = 1$ с проекциями $+\hbar$, 0 и $-\hbar$:

$$\begin{aligned} \chi_{1,+1} &= \uparrow_1\uparrow_2, \\ \chi_0 &= \frac{1}{\sqrt{2}}(\uparrow_1\downarrow_2 - \downarrow_1\uparrow_2), & \chi_{1,0} &= \frac{1}{\sqrt{2}}(\uparrow_1\downarrow_2 + \downarrow_1\uparrow_2), \\ \chi_{1,-1} &= \downarrow_1\downarrow_2. \end{aligned}$$

► **ST-relation**

Спиновая матрица Гольдбергера-Ватсона:

$$M(\theta) = a + b\sigma_{1n}\sigma_{2n} + c(\sigma_{1n} + \sigma_{2n}) + e\sigma_{1m}\sigma_{2m} + f\sigma_{1l}\sigma_{2l}.$$

$$\sigma_n = (\hat{\sigma} \cdot \vec{n}), \quad \sigma_m = (\hat{\sigma} \cdot \vec{m}), \quad \sigma_l = (\hat{\sigma} \cdot \vec{l}).$$

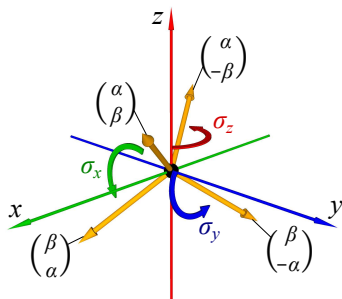
$$\vec{n} = \frac{\vec{p} \times \vec{p}'}{|\vec{p} \times \vec{p}'|}, \quad \vec{m} = \frac{\vec{p} - \vec{p}'}{|\vec{p} - \vec{p}'|}, \quad \vec{l} = \frac{\vec{p} + \vec{p}'}{|\vec{p} + \vec{p}'|},$$

Амплитуды (a, b, c, e, f) – комплексные функции угла рассеяния θ и кинетической энергии частиц. Дифференциальное сечение (частицы неполяризованы):

$$\frac{d\sigma(\theta)}{d\Omega} = |a|^2 + |b|^2 + 2|c|^2 + |e|^2 + |f|^2.$$

Физический смысл операторов спина

Ось квантования (z) произвольна — система (x, y, z) на векторах $(\vec{m}, \vec{l}, \vec{n})$:



Повороты спина — унитарный оператор $\hat{R}_{\vec{t}}(\varphi) = I \cos \frac{\varphi}{2} + i(\hat{\sigma} \cdot \vec{t}) \sin \frac{\varphi}{2}$,
где \vec{t} — ось вращения, и φ — угол поворота.

Матрицы σ_x , σ_y и σ_z — операторами поворота на 180° вокруг своих осей.

► Система волн

Спиноры $\begin{pmatrix} \alpha \\ -\beta \end{pmatrix}$, $\begin{pmatrix} \beta \\ \alpha \end{pmatrix}$ и $\begin{pmatrix} \beta \\ -\alpha \end{pmatrix}$ ортогональны исходному $\begin{pmatrix} \alpha \\ \beta \end{pmatrix}$ на Сфере Блоха:

$$\forall \vec{r} \text{ и } \chi = \begin{pmatrix} \cos \theta/2 \\ -e^{i\varphi} \sin \theta/2 \end{pmatrix} \Rightarrow \frac{1}{4\pi} \int \chi^\dagger(\hat{\sigma}\vec{r})\chi d\theta d\varphi = 0.$$

В среднем преобразование $\begin{pmatrix} \alpha \\ \beta \end{pmatrix} \rightarrow \begin{pmatrix} \alpha \\ -\beta \end{pmatrix}$, $\begin{pmatrix} \beta \\ \alpha \end{pmatrix}$ или $\begin{pmatrix} \beta \\ -\alpha \end{pmatrix}$ есть spin-flip.

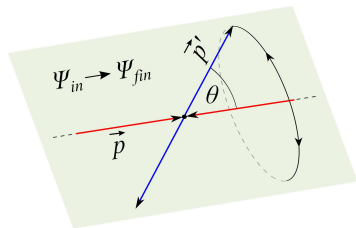
Абсолютный переворот спина — переход $\begin{pmatrix} \alpha \\ \beta \end{pmatrix} \rightarrow \begin{pmatrix} \beta^* \\ -\alpha^* \end{pmatrix}$.

!!! любой спинор можно представить в виде линейной комбинации:

$$\begin{pmatrix} \rho \\ \varepsilon \end{pmatrix} = (\alpha^* \rho + \beta^* \varepsilon) \begin{pmatrix} \alpha \\ \beta \end{pmatrix} + (\beta \rho - \alpha \varepsilon) \begin{pmatrix} \beta^* \\ -\alpha^* \end{pmatrix}.$$

Оператор поворота $\hat{P}(\theta)$

Преобразование начальной волны Ψ_{in} в исходящую волну Ψ_{fin} :



Для смены направления $\vec{p} \rightarrow \vec{p}'$ — оператор $\hat{P}(\theta)$:

$$\hat{P}(\theta) \times \psi_{12} = \psi'_{12} = e^{\frac{i}{\hbar} \vec{p}' \cdot \vec{r}} \Rightarrow \hat{P}(\theta) \sim e^{-\frac{i}{\hbar} \vec{q} \cdot \vec{r}},$$
$$|\hat{P}(\theta)|^2 = 1, \quad \hat{P}(\theta) \hat{P}(\omega) = \hat{P}(\theta + \omega), \quad \hat{P}(\theta) = \hat{P}(\theta + 2\pi n),$$
$$\Psi_{fin} = \hat{P}(\theta) \times \Psi_{in}.$$

Для вероятностного описания реакции умножаем Ψ_{fin} на амплитуду:

$$\Phi = A(\theta)\Psi_{\text{fin}}.$$

Дифференциальное сечение¹:

$$\frac{d\sigma(\theta)}{d\Omega} = |\Phi|^2 = |A(\theta)|^2.$$

Амплитуда рассеянной волны (одна или несколько) определяется матрицей $M(\theta)$ — рассеяние полностью детерминировано:

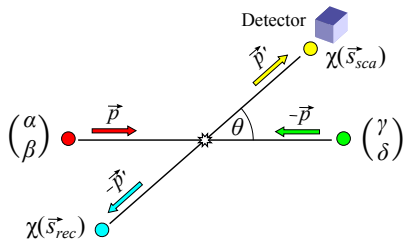
$$\Phi = \hat{P}(\theta)M(\theta) \times \Psi_{\text{in}}.$$

¹ Вектор тока плотности вероятности рассеянной нормированной волны по направлению угла θ в плоскости реакции:

$$\vec{j} = \frac{i\hbar}{m} (\Phi \nabla \Phi^* - \Phi^* \nabla \Phi) = \vec{v}' |A(\theta)|^2, \quad \text{где: } \vec{v}' = \frac{\vec{p}'}{m}.$$

Поток частиц dN , направленных в $d\Omega$, составляет: $dN = J d\Omega = v' |A(\theta)|^2 d\Omega$. Поскольку $|\vec{p}| = |\vec{p}'| = p$ и $N = J_0 = p/m$, для дифф. сечения находим: $d\sigma(\theta) = dN/N = J d\Omega/J_0 = |A(\theta)|^2 d\Omega$.

Рассеянной частицей считаем ту, которая попадает в детектор.
Положение детектора меняем на противоположное, что равносильно смене представления, которую из частиц считать рассеянной или отдачной.



Этот выбор произволен, но !!! от него **не может** зависеть состояние двух частиц после взаимодействия:

$$\Phi = \hat{P}(\theta)M(\theta) \times \Psi_{in} = \hat{P}(\theta - \pi)M(\theta - \pi) \times \Psi_{in} .$$

Пространство изотропно $\Rightarrow M(\theta - \pi) = M(\pi - \theta)$, $\hat{P}(\theta - \pi) \equiv \hat{P}(\pi)\hat{P}(\theta)$.

$\hat{P}(\pi)$ инвертирует направления движения: $\hat{P}(\pi) \times |\vec{p}_1, \vec{p}_2\rangle = |\vec{p}_2, \vec{p}_1\rangle$.

В литературе его называют оператором Майораны $\hat{P}_M \equiv \hat{P}(\pi)$. Получаем закон:

$$M(\theta) = \hat{P}_M \times M(\pi - \theta) \quad (5)$$

Теорема (Смена представлений)

Действие оператора Майораны на матрицу упругого рассеяния двух тождественных фермионов равносильно перемещению детектора в диаметрально противоположную точку наблюдения в системе центра масс.

Так как полная перестановка изменяет знак, то:

$$\hat{P}_M \hat{P}_B \times \Psi = -\Psi \quad \Rightarrow \quad \hat{P}_M \equiv -\hat{P}_B = -\frac{1}{2}(1 + \hat{\sigma}_1 \hat{\sigma}_2) \quad \blacktriangleright \text{Любошиц}$$

Определение спина $\frac{1}{2}\hbar$ здесь не играло никакой роли — формула (5) справедлива для любых двух тождественных частиц с любым количеством квантовых чисел. От этого зависит лишь выражение оператора Майораны.

Волновая функция нейтрона и протона

$$\Psi_{\text{in}} = \frac{1}{\sqrt{2}} \left[n_1 p_2 \begin{pmatrix} \alpha \\ \beta \end{pmatrix}_1 \begin{pmatrix} \gamma \\ \delta \end{pmatrix}_2 \psi_{12} - p_1 n_2 \begin{pmatrix} \gamma \\ \delta \end{pmatrix}_1 \begin{pmatrix} \alpha \\ \beta \end{pmatrix}_2 \psi_{12}^* \right]$$

Матрица NN-рассеяния

$$\begin{aligned} M(\theta) &= M_0(\theta) \frac{1 - \hat{\tau}_1 \hat{\tau}_2}{4} + M_1(\theta) \frac{3 + \hat{\tau}_1 \hat{\tau}_2}{4} = \\ &= \frac{1}{2} (M_1(\theta) + M_0(\theta)) + \frac{1}{2} (M_1(\theta) - M_0(\theta)) \hat{P}_B^T, \end{aligned}$$

$\hat{P}_B^T = \frac{1}{2}(1 + \hat{\tau}_1 \hat{\tau}_2)$ – оператор Бартлетта для изотопических переменных

Оператор Майораны

$$\begin{aligned} \hat{P}_M \hat{P}_B \hat{P}_B^T \times \Psi &= -\Psi \Rightarrow \\ \hat{P}_M &\equiv -\hat{P}_B \hat{P}_B^T = -\frac{1}{2}(1 + \hat{\sigma}_1 \hat{\sigma}_2) \frac{1}{2}(1 + \hat{\tau}_1 \hat{\tau}_2) \end{aligned}$$

Волновая функция трёх нуклонов:

$$\begin{aligned} \Psi_{3N} &= \frac{1}{\sqrt{3!}} \begin{vmatrix} |\xi_1\rangle_1 & |\xi_2\rangle_1 & |\xi_3\rangle_1 \\ |\xi_1\rangle_2 & |\xi_2\rangle_2 & |\xi_3\rangle_2 \\ |\xi_1\rangle_3 & |\xi_2\rangle_3 & |\xi_3\rangle_3 \end{vmatrix} = \\ &= \frac{1}{\sqrt{3}} \sum_{\{i,j,k\}} |\xi_1\rangle_i \frac{1}{\sqrt{2}} \left(|\xi_2\rangle_j |\xi_3\rangle_k - |\xi_3\rangle_j |\xi_2\rangle_k \right), \\ &\{i,j,k\} = \{1,2,3\}, \{2,3,1\}, \{3,1,2\}. \end{aligned}$$

Пусть ξ_1 – состояние налетающего нейтрона, а ξ_2 и ξ_3 – нуклоны дейтрона. Все частичные волны ортогональны, достаточно варианта $\{i,j,k\} = \{1,2,3\}$:

$$\Psi_{nd} = |\xi_1\rangle_1 \cdot \Psi_d = n_1 \begin{pmatrix} \alpha \\ \beta \end{pmatrix}_1 |\vec{p}_n\rangle_1 \cdot \frac{p_2 n_3 - n_2 p_3}{\sqrt{2}} \begin{pmatrix} \gamma \\ \delta \end{pmatrix}_2 \begin{pmatrix} \gamma \\ \delta \end{pmatrix}_3 \Psi_{d,23}.$$

$$\Psi_{d,23} \equiv \Phi_H(r) = \frac{1}{\sqrt{8\pi^3 \hbar^3}} \int \Phi_H(p) e^{\frac{i}{\hbar} \vec{p} \vec{r}} d^3 \vec{p}, \quad \vec{r} = \vec{r}_2 - \vec{r}_3.$$

$\Phi_H(p)$ — решение Хюльтена — S-волна в импульсном представлении.

$$\begin{aligned}
 \Phi_{p(nn)} &= \frac{1}{2}(M_1(\theta) - M_0(\theta))\widehat{P}_B^T\widehat{P}(\theta) \times \Psi_{nd} = \\
 &= \sum A_t^{\text{exch}} P_1 \begin{pmatrix} \alpha_t \\ \beta_t \end{pmatrix}_1 |\widehat{P}_P' \rangle_1 \frac{n_2 n_3}{\sqrt{2}} \left[\begin{pmatrix} \gamma_t \\ \delta_t \end{pmatrix}_2 \begin{pmatrix} \gamma \\ \delta \end{pmatrix}_3 e^{\frac{i}{\hbar} \vec{q} \vec{r}_2} - \begin{pmatrix} \gamma \\ \delta \end{pmatrix}_2 \begin{pmatrix} \gamma_t \\ \delta_t \end{pmatrix}_3 e^{\frac{i}{\hbar} \vec{q} \vec{r}_3} \right] \Psi_{d,23} = \\
 &= \sum A_t^{\text{exch}} P_1 \begin{pmatrix} \alpha_t \\ \beta_t \end{pmatrix}_1 |\widehat{P}_P' \rangle_1 \cdot \frac{n_2 n_3}{\sqrt{2}} \left[\chi_{(-)} \cos \frac{\vec{q} \vec{r}}{2\hbar} + i \chi_{(+)} \sin \frac{\vec{q} \vec{r}}{2\hbar} \right] e^{\frac{i}{\hbar} \vec{q} \vec{r}_{nn}} \Psi_{d,23}, \\
 \chi_{(\pm)} &= \begin{pmatrix} \gamma_t \\ \delta_t \end{pmatrix}_2 \begin{pmatrix} \gamma \\ \delta \end{pmatrix}_3 \pm \begin{pmatrix} \gamma \\ \delta \end{pmatrix}_2 \begin{pmatrix} \gamma_t \\ \delta_t \end{pmatrix}_3.
 \end{aligned}$$

Здесь $\vec{r}_{nn} = \frac{1}{2}(\vec{r}_2 + \vec{r}_3)$ — радиус вектор nn-пары, A_t^{exch} — амплитуда матрицы рассеяния: $A_1^{\text{exch}} = a^{\text{exch}} = \frac{1}{2}(a_1 - a_0)$ и т.д.

Дифф. сечение реакции $nd \rightarrow p(nn)$ определяется как интеграл $|\Phi_{p(nn)}|^2$ по объему ядра дейтерия и усредняется по всем направлениям спинов нейтронов:

$$\begin{aligned}
 \frac{d\sigma(\theta)}{d\Omega}_{nd \rightarrow p(nn)} &= \oint \overline{|\Phi_{p(nn)}|^2} dV = \\
 &= \frac{1}{2} \sum |A_t^{\text{exch}}|^2 \left[\overline{|\chi_{(-)}|^2} \oint |\Psi_d|^2 \cos^2 \frac{\vec{q} \vec{r}}{2\hbar} dV + \overline{|\chi_{(+)}|^2} \oint |\Psi_d|^2 \sin^2 \frac{\vec{q} \vec{r}}{2\hbar} dV \right].
 \end{aligned}$$

$$|\chi_{(-)}|^2 = 2|\delta\gamma - \gamma\delta_t|^2, \quad |\chi_{(+)})|^2 = 4 - |\chi_{(-)}|^2,$$

$$\overline{|\delta\gamma - \gamma\delta_t|^2} = \begin{cases} 0, & \text{если: } \begin{pmatrix} \gamma_t \\ \delta_t \end{pmatrix} = \begin{pmatrix} \gamma \\ \delta \end{pmatrix}, \\ 2/3, & \text{если: } \begin{pmatrix} \gamma_t \\ \delta_t \end{pmatrix} = \begin{pmatrix} \gamma \\ -\delta \end{pmatrix}, \begin{pmatrix} \delta \\ \gamma \end{pmatrix} \text{ или } \begin{pmatrix} -\delta \\ \gamma \end{pmatrix}. \end{cases}$$

Весовые доли спиновых состояний $\chi_{(-)}$ и $\chi_{(+)}$.

A_t^{exch}	γ_t	δ_t	$\overline{ \chi_{(-)} ^2}$	$\overline{ \chi_{(+)}) ^2}$
a^{exch}	γ	δ	0	4
b^{exch}	γ	$-\delta$	4/3	8/3
c^{exch}	γ	δ	0	4
	γ	$-\delta$	4/3	8/3
e^{exch}	δ	γ	4/3	8/3
f^{exch}	$-\delta$	γ	4/3	8/3

$$\frac{d\sigma(\theta)}{d\Omega}_{nd \rightarrow p(nn)} = \frac{2}{3} \frac{d\sigma(\theta)^{\text{Flip}}}{d\Omega}_{np \rightarrow pn} \oint |\psi_d|^2 \cos^2 \frac{\vec{q}\vec{r}}{2\hbar} dV +$$

$$+ \left(2 \frac{d\sigma(\theta)^{\text{Non-Flip}}}{d\Omega}_{np \rightarrow pn} + \frac{4}{3} \frac{d\sigma(\theta)^{\text{Flip}}}{d\Omega}_{np \rightarrow pn} \right) \oint |\psi_d|^2 \sin^2 \frac{\vec{q}\vec{r}}{2\hbar} dV. \quad (6)$$

Это и есть формула² Натана Дина, которую он получил в 1972 г. Если частица рассеивается под нулём, переданный импульс \vec{q} стремится к нулю, поэтому: $\cos^2 \frac{\vec{q}\vec{r}}{2\hbar} \approx 1$ и $\sin^2 \frac{\vec{q}\vec{r}}{2\hbar} \approx 0$, что даёт:

$$\boxed{\frac{d\sigma(0)}{d\Omega}_{nd \rightarrow p(nn)} = \frac{2}{3} \cdot \frac{d\sigma(0)^{\text{Flip}}}{d\Omega}_{np \rightarrow pn}} \quad (1)$$

²В литературе распространено представление формулы Дина, в котором используется форм-фактор дейтрона: $F(q) = \oint |\psi_d| \cos \frac{\vec{q}\vec{r}}{\hbar} dV$:

$$\oint |\psi_d|^2 \cos^2 \frac{\vec{q}\vec{r}}{2\hbar} dV = \frac{1}{2} \oint |\psi_d|^2 (1 + \cos \frac{\vec{q}\vec{r}}{\hbar}) dV = \frac{1}{2} (1 + F(q)),$$

$$\oint |\psi_d|^2 \sin^2 \frac{\vec{q}\vec{r}}{2\hbar} dV = \frac{1}{2} (1 - F(q)).$$

Начальные условия те же самые:

$$\Psi_{nd} = \frac{1}{\sqrt{3}} \sum_{\{i,j,k\}} n_i \begin{pmatrix} \alpha \\ \beta \end{pmatrix}_i |\vec{p}_n\rangle_i \cdot \frac{p_j n_k - n_j p_k}{\sqrt{2}} \begin{pmatrix} \gamma \\ \delta \end{pmatrix}_j \begin{pmatrix} \gamma \\ \delta \end{pmatrix}_k \Psi_{d,jk},$$

$$\{i,j,k\} = \{1,2,3\}, \{2,3,1\}, \{3,1,2\}.$$

В представлении $pp \rightarrow pp$ рассеянной частицей является нейтрон (образующий с нейтроном-спектатором nn -пару), а протон становится частицей отдачи:

$$\Phi_{(nn)p} = \frac{1}{2} (M_1(\boldsymbol{\pi} - \boldsymbol{\theta}) + M_0(\boldsymbol{\pi} - \boldsymbol{\theta})) \hat{P}(\boldsymbol{\pi} - \boldsymbol{\theta}) \times \Psi_{nd}.$$

Если протон имел номер j , действие оператора $\hat{P}(\boldsymbol{\pi} - \boldsymbol{\theta})$ можно представить так:

$$\begin{aligned} \hat{P}(\boldsymbol{\theta}) \hat{P}(\boldsymbol{\pi}) \times |\vec{p}_n\rangle_i \Psi_{d,jk} &= \hat{P}(\boldsymbol{\theta}) \hat{P}(\boldsymbol{\pi}) \times |\vec{p}_n\rangle_i |\vec{p}_{p^*}\rangle_j |\vec{p}_{n^*}\rangle_k = \\ &= \hat{P}(\boldsymbol{\theta}) \times |\vec{p}_n\rangle_j |\vec{p}_{p^*}\rangle_i |\vec{p}_{n^*}\rangle_k = e^{-\frac{i}{\hbar} \vec{q}(\vec{r}_j - \vec{r}_i)} |\vec{p}_n\rangle_j |\vec{p}_{p^*}\rangle_i |\vec{p}_{n^*}\rangle_k = |\vec{p}_{p'}\rangle_j e^{\frac{i}{\hbar} \vec{q} \vec{r}_i} \Psi_{d,ik}. \end{aligned}$$

$$\begin{aligned} \Phi_{(nn)p} &= \frac{1}{\sqrt{3}} \sum_{\{i,j,k\}} \sum_t A_t \left[\frac{n_i p_j n_k}{\sqrt{2}} \begin{pmatrix} \alpha_t \\ \beta_t \end{pmatrix}_i \begin{pmatrix} \gamma_t \\ \delta_t \end{pmatrix}_j \begin{pmatrix} \gamma \\ \delta \end{pmatrix}_k |\vec{p}_p'\rangle_j e^{\frac{i}{\hbar} \vec{q} \vec{r}_i} \psi_{d,ik} + \right. \\ &\quad \left. - \frac{n_i n_j p_k}{\sqrt{2}} \begin{pmatrix} \alpha_t \\ \beta_t \end{pmatrix}_i \begin{pmatrix} \gamma \\ \delta \end{pmatrix}_j \begin{pmatrix} \gamma_t \\ \delta_t \end{pmatrix}_k |\vec{p}_p'\rangle_k e^{\frac{i}{\hbar} \vec{q} \vec{r}_i} \psi_{d,ij} \right]. \end{aligned}$$

Упорядочиваем по номерам протонов. С учётом ортогональности системы волновых функций снимаем суммирование по $\{i, j, k\}$:

$$\Phi_{(nn)p} = \sum_t A_t p_1 \begin{pmatrix} \gamma_t \\ \delta_t \end{pmatrix}_1 |\vec{p}_p'\rangle_1 \cdot \frac{n_2 n_3}{\sqrt{2}} \left[\chi_{(-)} \cos \frac{\vec{q} \vec{r}}{2\hbar} - i \chi_{(+)} \sin \frac{\vec{q} \vec{r}}{2\hbar} \right] e^{\frac{i}{\hbar} \vec{q} \vec{r}_{nn}} \psi_{d,23},$$

$$\chi_{(\pm)} = \begin{pmatrix} \gamma \\ \delta \end{pmatrix}_2 \begin{pmatrix} \alpha_t \\ \beta_t \end{pmatrix}_3 \pm \begin{pmatrix} \alpha_t \\ \beta_t \end{pmatrix}_2 \begin{pmatrix} \gamma \\ \delta \end{pmatrix}_3.$$

Интегрируем $|\Phi_{(nn)p}|^2$ по объёму дейтрона и усредняем по всем направлениям спинов нейтронов:

$$\begin{aligned} \frac{d\sigma(\pi - \theta)}{d\Omega}_{nd \rightarrow (nn)p} &= \oint \overline{|\Phi_{(nn)p}|^2} dV = \\ &= \frac{1}{2} \sum |A_t|^2 \left[\overline{|\chi_{(-)}|^2} \oint |\psi_d|^2 \cos^2 \frac{\vec{q}\vec{r}}{2\hbar} dV + \overline{|\chi_{(+)}|^2} \oint |\psi_d|^2 \sin^2 \frac{\vec{q}\vec{r}}{2\hbar} dV \right]. \end{aligned}$$

Так как состояния нейтронов теперь некоррелированы, при подстановке любого спинора $\begin{pmatrix} \alpha_t \\ \beta_t \end{pmatrix} = \begin{pmatrix} \alpha \\ \beta \end{pmatrix}$, $\begin{pmatrix} \alpha \\ -\beta \end{pmatrix}$, $\begin{pmatrix} \beta \\ \alpha \end{pmatrix}$ или $\begin{pmatrix} \beta \\ -\alpha \end{pmatrix}$ получаем точные равенства:

$$\overline{|\chi_{(-)}|^2} = 2\overline{|\gamma\beta_t - \delta\alpha_t|^2} = 1 \quad , \quad \overline{|\chi_{(+)}|^2} = 3.$$

$$\frac{d\sigma(\pi-\theta)}{d\Omega}_{nd\rightarrow(nn)p} = \frac{d\sigma(\pi-\theta)}{d\Omega}_{np\rightarrow np} \left(\frac{1}{2} + \oint |\psi_d|^2 \sin^2 \frac{q\vec{r}}{2\hbar} dV \right)$$

Учитывая определение форм-фактора дейтрона, а также эквивалентность перезарядки вперёд и рассеяния нейтрона назад, получаем:

$$\frac{d\sigma(\theta)}{d\Omega}_{nd\rightarrow p(nn)} = \left(1 - \frac{1}{2} F(q) \right) \frac{d\sigma(\theta)}{d\Omega}_{np\rightarrow pn} \quad (7)$$

Так как $F(0) = 1$, получаем новую закономерность:

Теорема (Одна вторая)

Дифференциальное сечение квазиупругой реакции $nd \rightarrow p(nn)$ при рассеянии протонов под нулём равно половине дифференциального сечения свободного процесса $np \rightarrow pn$.

В своей работе Натан Дин высказал мысль о нецелесообразности использовать формализм реакции $np \rightarrow np(\pi-\theta)$ для описания процесса квазиупругой перезарядки нейтрона на дейтроне: «For the non-charge-exchange reaction, however, no such simple result follows». Тем не менее, полученный здесь результат (7) оказался даже более простым, чем формула Дина (6).

Эквивалентность формы

Налетающий нейтрон в состоянии $\begin{pmatrix} \alpha \\ \beta \end{pmatrix}_1$. Дейтрон мишени в состоянии $\begin{pmatrix} \gamma \\ \delta \end{pmatrix}_2 \begin{pmatrix} \gamma \\ \delta \end{pmatrix}_3$. Перезарядка нейтрона на дейтроне $nd \rightarrow p(nn)$ под нулём:

$$\frac{d\sigma(0)}{d\Omega}_{nd \rightarrow p(nn)} = \frac{1}{2} \sum |A_t^{\text{exch}}|^2 \left| \begin{pmatrix} \gamma \\ \delta \end{pmatrix}_2 \begin{pmatrix} \gamma_t \\ \delta_t \end{pmatrix}_3 - \begin{pmatrix} \gamma_t \\ \delta_t \end{pmatrix}_2 \begin{pmatrix} \gamma \\ \delta \end{pmatrix}_3 \right|^2,$$
$$\begin{pmatrix} \gamma_t \\ \delta_t \end{pmatrix} = \left\{ \begin{pmatrix} \gamma \\ \delta \end{pmatrix}, \begin{pmatrix} \gamma \\ -\delta \end{pmatrix}, \begin{pmatrix} \delta \\ \gamma \end{pmatrix}, \begin{pmatrix} \delta \\ -\gamma \end{pmatrix} \right\}.$$

Выбивание нейтроном протона вперёд, представление $nd \rightarrow (nn)p$:

$$\frac{d\sigma(\pi)}{d\Omega}_{nd \rightarrow (nn)p} = \frac{1}{2} \sum |A_t|^2 \left| \begin{pmatrix} \gamma \\ \delta \end{pmatrix}_2 \begin{pmatrix} \alpha_t \\ \beta_t \end{pmatrix}_3 - \begin{pmatrix} \alpha_t \\ \beta_t \end{pmatrix}_2 \begin{pmatrix} \gamma \\ \delta \end{pmatrix}_3 \right|^2,$$
$$\begin{pmatrix} \alpha_t \\ \beta_t \end{pmatrix} = \left\{ \begin{pmatrix} \alpha \\ \beta \end{pmatrix}, \begin{pmatrix} \alpha \\ -\beta \end{pmatrix}, \begin{pmatrix} \beta \\ \alpha \end{pmatrix}, \begin{pmatrix} \beta \\ -\alpha \end{pmatrix} \right\}.$$

Если nd -взаимодействие называется реакцией $nd \rightarrow p(nn)$, нейтрон — частица отдачи и его спин $\begin{pmatrix} \gamma_t \\ \delta_t \end{pmatrix}$ представлен одним из 4-х вариантов изменения спинового состояния протона ядра дейтерия. Когда $\begin{pmatrix} \gamma_t \\ \delta_t \end{pmatrix} = \begin{pmatrix} \gamma \\ \delta \end{pmatrix}$, вклад нефлиповой амплитуды $a^{\text{exch}}(0)$ исчезает. Наоборот, все флиповые спиноры $\begin{pmatrix} \gamma \\ -\delta \end{pmatrix}$, $\begin{pmatrix} \delta \\ \gamma \end{pmatrix}$ и $\begin{pmatrix} \delta \\ -\gamma \end{pmatrix}$ входят с весом $\frac{4}{3}$. После умножения на $\frac{1}{2}$ остаётся $\frac{2}{3}$ от Flip-части дифференциального сечения упругой перезарядки $np \rightarrow pn(0)$. Если используется представление $nd \rightarrow (nn)p$, нейтрон в np -системе считается рассеянным на 180° . Все состояния $\begin{pmatrix} \alpha_t \\ \beta_t \end{pmatrix}$ входят с равным весом 1 поэтому никакого разделения Flip и Non-Flip частей не происходит и от дифф. сечения реакции $np \rightarrow np(\pi)$ остаётся $\frac{1}{2}$.

Катастрофа PSA?

Формулы (6) и (7) дублируют выражение дифф. сечения $d\sigma(\theta)/d\Omega_{nd \rightarrow p(nn)}$. Приводя подобные слагаемые и сокращая одинаковые множители, находим:

$$\begin{aligned} & \left(1 - \frac{1}{2}F(q)\right) \frac{d\sigma(\theta)}{d\Omega}_{np \rightarrow pn} = \\ & = \left(1 - \frac{1}{3}F(q)\right) \frac{d\sigma(\theta)^{\text{Flip}}}{d\Omega}_{np \rightarrow pn} + (1 - F(q)) \frac{d\sigma(\theta)^{\text{Non-Flip}}}{d\Omega}_{np \rightarrow pn} \Rightarrow \\ & \boxed{\frac{d\sigma(\theta)^{\text{Flip}}}{d\Omega}_{np \rightarrow pn} = 3 \cdot \frac{d\sigma(\theta)^{\text{Non-Flip}}}{d\Omega}_{np \rightarrow pn}} \quad (8) \end{aligned}$$

Гипотеза (3:1)

Соотношение между флиповой и нефлиповой частями дифференциального сечения перезарядки $np \rightarrow pn$ под любыми углами рассеяния находится в пропорции 3 к 1.

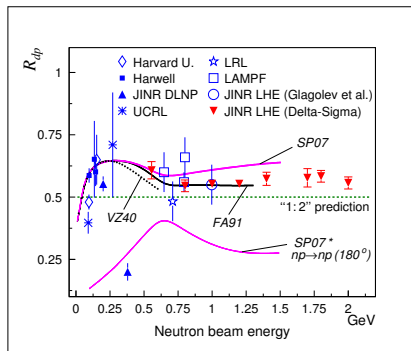
Если верим Closure Approximation.

Таблица: Значения R_{dp} -отношения дифференциальных сечений квазиупругой $nd \rightarrow p(nn)$ и упругой $np \rightarrow pn$ реакций перезарядки при рассеянии под нулём градусов и независимые источники ошибок наблюдаемых величин.

T_n , ГэВ	0.55	0.8	1.0	1.2	1.4	1.7	1.8	2.0
R_{dp}	0.608	0.546	0.553	0.554	0.574	0.550	0.584	0.557
ϵ	0.035	0.024	0.012	0.010	0.027	0.034	0.024	0.024

L. N. Strunov *et al.*, **Measurements of neutron-proton spin observables at 0° using highest energy polarized d, n probes**, Proceedings of International conference SPIN-PRAHA 2005, *Czech. J. Phys., Suppl. C*, vol. 56, pp. C434–C357, 2006.

V. I. Sharov, A. A. Morozov, R. A. Shindin, *et al.*, **Measurements of the ratio r_{dp} of the quasi-elastic $nd \rightarrow p(nn)$ to the elastic $np \rightarrow pn$ charge-exchange process yields at zero proton emission angle over the 0.55–2.0 GeV neutron beam energy region**, *Eur. Phys. J. A*, vol. 39, pp. 267–280, March 2009.



Энергетическая зависимость R_{dp} -отношения выходов протонов квазиупругой $nd \rightarrow p(nn)$ и упругой $np \rightarrow pn$ реакций перезарядки при рассеянии под нулём.

Решения фазового анализа VZ40, FA91 и SP07, взятые из базы данных SAID как амплитуды $np \rightarrow pn(\theta = \pi)$ реакции, переведены унитарным преобразованием в представление $np \rightarrow pn(\theta = 0)$, и значения R_{dp} рассчитаны по формуле Дина (1). Кривая SP07* получена нами по рекомендации Ф. Легара подстановкой Non-Flip и Flip частей реакции $np \rightarrow pn(\theta = \pi)$, т.е. игнорируя разницу представлений. Прямая пунктирная линия "1:2" — правильный расчёт отношения R_{dp} в рамках реакции $np \rightarrow pn(\theta = \pi)$ и выражает идею экранирования протона в ядре дейтерия нейтроном-спектатором в половине случаев nd -взаимодействия.

Расчёт $r_{np \rightarrow pn}^{nfl/fl}$ -отношения

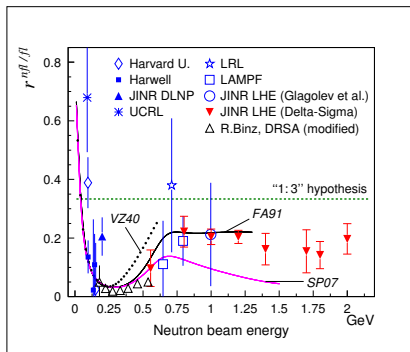
$$r_{np \rightarrow pn(0)}^{nfl/fl} = \frac{d\sigma(0)_{np \rightarrow pn}^{Non-Flip}}{dt} / \frac{d\sigma(0)_{np \rightarrow pn}^{Flip}}{dt} = \frac{2}{3} \cdot \frac{1}{R_{dp}(0)} - 1. \quad (2)$$

Таблица: Экспериментальные значения отношения $r_{np \rightarrow pn(0)}^{nfl/fl}$ между нефлиповой и флиповой частями дифф. сечения свободного процесса $np \rightarrow pn$ при рассеянии под нулём градусов.

T_n , ГэВ	0.55	0.8	1.0	1.2	1.4	1.7	1.8	2.0
$r_{np \rightarrow pn}^{nfl/fl}$	0.097	0.222	0.204	0.204	0.162	0.155	0.142	0.197
ϵ	0.062	0.053	0.026	0.023	0.054	0.074	0.046	0.052

R. A. Shindin, D. K. Guriev, A. A. Morozov, et al., **Separation of flip and non-flip parts of $np \rightarrow pn$ charge exchange at energies $T_n = 0.5 - 2.0$ GeV**, *Eur. Phys. J. ST*, vol. 162, No. 1, pp. 117–123, 2008.

Р. А. Шиндин, Д. К. Гурьев, А. А. Морозов и др., **Разделение дифференциального сечения перезарядки $np \rightarrow pn$ на flip и non-flip части при энергии $T_n = 0.5 - 2.0$ ГэВ**, *Письма в ЭЧАЯ*, vol. 8, №. 2 (165), pp. 157–168, 2011.



Энергозависимость $r_{np \rightarrow pn}^{nfl/fl}$ процесса упругой $np \rightarrow pn$ перезарядки под нулём.

Экспериментальные точки получены прямым расчётом по значениям R_{dp} . Решения фазового анализа VZ40, FA91 и SP07 взяты из базы данных SAID как амплитуды упругого $np \rightarrow np$ ($\theta = \pi$) рассеяния назад и переведены в представление $np \rightarrow pn$ ($\theta = 0$) перезарядки, после чего вычислено отношение $r_{np \rightarrow pn}^{nfl/fl}$. Точки Р. Бинца, полученные путём прямого восстановления амплитуд упругой реакции $np \rightarrow np$ ($\theta = \pi$), также приведены нами к представлению зарядово-обменного процесса $np \rightarrow pn$ ($\theta = 0$). Пунктирная линия "1:3" — предсказание (8) отношения Non-Flip и Flip частей рассеяния, которое следует из формулы Дина (6) и новой закономерности (7).

Заключение

- 1 Исследован вопрос о различии двух представлений упругого взаимодействия двух тождественных частиц. Представления зависят от нашего выбора, которую из частиц считать рассеянной, что приводит к двум эквивалентным, но не тождественным разложениям волновой функции в конечном состоянии. Переход между представлениями обеспечивает оператор Майораны.
- 2 Предложен способ вывода формулы Дина для реакции квазиупругой перезарядки $nd \rightarrow p(nn)$, в котором волновая функция протона и двух нейтронов в конечном состоянии получается прямым действием нуклонной матрицы рассеяния. Используя альтернативное представление упругого взаимодействия нейтрона и протона, то есть $np \rightarrow np$ рассеяние назад, определена новая формула, согласно которой дифференциальные сечения процессов $nd \rightarrow p(nn)$ и $np \rightarrow pn$ при рассеянии протонов под нулём градусов должны относиться как 1:2.
- 3 В диапазоне энергий $T_n = 0.55 \div 2.0$ ГэВ определённое экспериментально отношение R_{dp} подобно константе на уровне 0.56. Это превышает расчётное значение $R_{dp} = 1/2$ на 12% и связано в основном с погрешностью метода импульсного приближения. Величина $r_{np \rightarrow pn(0)}^{nfl/fl}$ распределена на уровне 0.17 с ошибкой 0.05, что соответствует 15% вклада Non-Flip части.

Приложение

Собственные вектора оператора $(\hat{\sigma} \cdot \vec{r})$

Пусть единичный вектор \vec{r} определён в сферической системе координат значениями азимутального и полярного углов θ и φ , тогда:

$$\begin{aligned}\sigma_r &= \sigma_x \sin \theta \cos \varphi + \sigma_y \sin \theta \sin \varphi + \sigma_z \cos \theta = \\ &= \begin{pmatrix} \cos \theta & e^{-i\varphi} \sin \theta \\ e^{i\varphi} \sin \theta & -\cos \theta \end{pmatrix} = \begin{pmatrix} \cos^2 \frac{\theta}{2} - \sin^2 \frac{\theta}{2} & 2e^{-i\varphi} \sin \frac{\theta}{2} \cos \frac{\theta}{2} \\ 2e^{i\varphi} \sin \frac{\theta}{2} \cos \frac{\theta}{2} & -\cos^2 \frac{\theta}{2} + \sin^2 \frac{\theta}{2} \end{pmatrix} = \\ &= \chi^{(+)} \otimes (\chi^{(+)})^+ - \chi^{(-)} \otimes (\chi^{(-)})^+, \end{aligned} \quad (9)$$

$$\text{где: } \chi^{(+)} = \begin{pmatrix} \cos \frac{\theta}{2} \\ e^{i\varphi} \sin \frac{\theta}{2} \end{pmatrix}, \quad \chi^{(-)} = \begin{pmatrix} -\sin \frac{\theta}{2} \\ e^{i\varphi} \cos \frac{\theta}{2} \end{pmatrix}, \quad |\chi^{(\pm)}|^2 = 1.$$

Вектора $\chi^{(+)}$ и $\chi^{(-)}$ ортогональны, поэтому согласно (9) очевидно, что:

$$\sigma_r \chi^{(+)} = \chi^{(+)} \quad , \quad \sigma_r \chi^{(-)} = -\chi^{(-)}.$$

[Вернуться](#)

Из книги Д. И. Блохинцева «Основы квантовой механики» (стр. 471):

Чтобы получить состояние протона и нейтрона, следует взять суперпозицию состояний с $T=1$ и $T=0$. Например, для синглетного состояния $S=0$, необходимая первичная волна напишется в виде:

$$\begin{aligned} \Psi^0 &= \frac{1}{\sqrt{2}} \Psi_a^0(r) \overbrace{S_a(s_{z1}, s_{z2}) S_a(t_{z1}, t_{z2})}^{T=0} + \frac{1}{\sqrt{2}} \Psi_s^0(r) \overbrace{S_a(s_{z1}, s_{z2}) S_s''(t_{z1}, t_{z2})}^{T=1} = \\ &= e^{i\vec{k}(\vec{r}_1 - \vec{r}_2)} S_{+\frac{1}{2}}(t_{z1}) S_{-\frac{1}{2}}(t_{z2}) S_a(s_{z1}, s_{z2}) + \\ &+ e^{i\vec{k}(\vec{r}_2 - \vec{r}_1)} S_{+\frac{1}{2}}(t_{z2}) S_{-\frac{1}{2}}(t_{z1}) S_a(s_{z1}, s_{z2}). \end{aligned} \quad (134.19)$$

Действительно, эта суперпозиция представляет собой такую волну, что частица, имеющая импульс $+\vec{k}$, имеет изотопический спин $t_3 = +1/2$ (т. е. является протоном), а частица, имеющая импульс $-\vec{k}$, имеет изотопический спин $t_3 = -1/2$ (т. е. является нейтроном). Это есть правильный выбор первичной волны, представляющей протон с импульсом $+\vec{k}$ и нейтрон с импульсом $-\vec{k}$. Нумерация же частиц 1 и 2 не имеет никакого значения.

$$[p_1 p_2 \varphi_{12} + p_1 p_2 \varphi_{12}^*] \chi_0.$$

[Вернуться](#)

$$\Psi = A_0 \chi_0 \psi_s + A_{1,+1} \chi_{1,+1} \psi_a + A_{1,0} \chi_{1,0} \psi_a + A_{1,-1} \chi_{1,-1} \psi_a .$$

$$A_{1,+1} = \alpha \gamma ,$$

$$A_0 = \frac{1}{\sqrt{2}}(\alpha \delta - \beta \gamma) , \quad A_{1,0} = \frac{1}{\sqrt{2}}(\alpha \delta + \beta \gamma) ,$$

$$A_{1,-1} = \beta \delta ,$$

Лемма (ST-relation)

Свободная волновая функция двух тождественных фермионов удовлетворяет условию:

$$A_{1,0}^2 - A_0^2 = 2 A_{1,+1} A_{1,-1} .$$

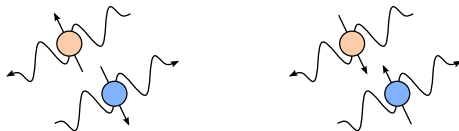
Обратная задача восстановления проекций спина каждой частицы:

$$\frac{\beta}{\alpha} = \frac{A_{1,0} - A_0}{\sqrt{2} A_{1,+1}} = \frac{\sqrt{2} A_{1,-1}}{A_{1,0} + A_0} , \quad \theta_{\vec{p}} = 2 \operatorname{arctg} \frac{\beta}{\alpha} , \quad \varphi_{\vec{p}} = -\arg \frac{\beta}{\alpha} ;$$

$$\frac{\delta}{\gamma} = \frac{A_{1,0} + A_0}{\sqrt{2} A_{1,+1}} = \frac{\sqrt{2} A_{1,-1}}{A_{1,0} - A_0} , \quad \theta_{-\vec{p}} = 2 \operatorname{arctg} \frac{\delta}{\gamma} , \quad \varphi_{-\vec{p}} = -\arg \frac{\delta}{\gamma} .$$

$$\begin{aligned}\Psi_0 &= \chi_0 \psi_s = \frac{1}{2} (\uparrow_1 \downarrow_2 - \downarrow_1 \uparrow_2) (\psi_{12} + \psi_{12}^*) = \\ &= \frac{1}{2} [\uparrow_1 \downarrow_2 \psi_{12} - \downarrow_1 \uparrow_2 \psi_{12}^*] - \frac{1}{2} [\downarrow_1 \uparrow_2 \psi_{12} - \uparrow_1 \downarrow_2 \psi_{12}^*] \\ \Psi_{1,0} &= \chi_{1,0} \psi_a = \frac{1}{2} (\uparrow_1 \downarrow_2 + \downarrow_1 \uparrow_2) (\psi_{12} - \psi_{12}^*) = \\ &= \frac{1}{2} [\uparrow_1 \downarrow_2 \psi_{12} - \downarrow_1 \uparrow_2 \psi_{12}^*] + \frac{1}{2} [\downarrow_1 \uparrow_2 \psi_{12} - \uparrow_1 \downarrow_2 \psi_{12}^*]\end{aligned}$$

Каждая частичная волна Ψ_0 и $\Psi_{1,0}$ представляет два противоположных случая:



Вернуться

$$\Psi_a = \frac{1}{\sqrt{2}} \left[\begin{pmatrix} \alpha \\ \beta \end{pmatrix}_1 \begin{pmatrix} \gamma \\ \delta \end{pmatrix}_2 \psi'_{12} - \begin{pmatrix} \gamma \\ \delta \end{pmatrix}_1 \begin{pmatrix} \alpha \\ \beta \end{pmatrix}_2 \psi'^*_{12} \right], \quad (10a)$$

$$\Psi_b = \frac{1}{\sqrt{2}} \left[\begin{pmatrix} \alpha \\ -\beta \end{pmatrix}_1 \begin{pmatrix} \gamma \\ -\delta \end{pmatrix}_2 \psi'_{12} - \begin{pmatrix} \gamma \\ -\delta \end{pmatrix}_1 \begin{pmatrix} \alpha \\ -\beta \end{pmatrix}_2 \psi'^*_{12} \right], \quad (10b)$$

$$\Psi'_c = \frac{1}{\sqrt{2}} \left[\begin{pmatrix} \alpha \\ -\beta \end{pmatrix}_1 \begin{pmatrix} \gamma \\ \delta \end{pmatrix}_2 \psi'_{12} - \begin{pmatrix} \gamma \\ \delta \end{pmatrix}_1 \begin{pmatrix} \alpha \\ -\beta \end{pmatrix}_2 \psi'^*_{12} \right], \quad (10c)$$

$$\Psi''_c = \frac{1}{\sqrt{2}} \left[\begin{pmatrix} \alpha \\ \beta \end{pmatrix}_1 \begin{pmatrix} \gamma \\ -\delta \end{pmatrix}_2 \psi'_{12} - \begin{pmatrix} \gamma \\ -\delta \end{pmatrix}_1 \begin{pmatrix} \alpha \\ \beta \end{pmatrix}_2 \psi'^*_{12} \right], \quad (10d)$$

$$\Psi_e = \frac{1}{\sqrt{2}} \left[\begin{pmatrix} \beta \\ \alpha \end{pmatrix}_1 \begin{pmatrix} \delta \\ \gamma \end{pmatrix}_2 \psi'_{12} - \begin{pmatrix} \delta \\ \gamma \end{pmatrix}_1 \begin{pmatrix} \beta \\ \alpha \end{pmatrix}_2 \psi'^*_{12} \right], \quad (10e)$$

$$\Psi_f = -\frac{1}{\sqrt{2}} \left[\begin{pmatrix} \beta \\ -\alpha \end{pmatrix}_1 \begin{pmatrix} \delta \\ -\gamma \end{pmatrix}_2 \psi'_{12} - \begin{pmatrix} \delta \\ -\gamma \end{pmatrix}_1 \begin{pmatrix} \beta \\ -\alpha \end{pmatrix}_2 \psi'^*_{12} \right]. \quad (10f)$$

[Вернуться](#)

	Ψ_a	Ψ_b	Ψ'_c	Ψ''_c
Ψ_a^+	1	$\cos \theta_1 \cos \theta_2$	$\cos \theta_1$	$\cos \theta_2$
Ψ_b^+	$(\Psi_a^+ \Psi_b^+)^*$	1	$\cos \theta_2$	$\cos \theta_1$
$\Psi_c'^+$	–	–	1	$\cos \theta_1 \cos \theta_2$
$\Psi_c''^+$	–	–	–	1
Ψ_e^+	–	–	–	–
Ψ_f^+	–	–	–	–

⇒

	Ψ_e	Ψ_f
Ψ_a^+	$\sin \theta_1 \sin \theta_2 \cos \varphi_1 \cos \varphi_2$	$\sin \theta_1 \sin \theta_2 \sin \varphi_1 \sin \varphi_2$
Ψ_b^+	$-\sin \theta_1 \sin \theta_2 \sin \varphi_1 \sin \varphi_2$	$-\sin \theta_1 \sin \theta_2 \cos \varphi_1 \cos \varphi_2$
$\Psi_c'^+$	$i \sin \theta_1 \sin \theta_2 \sin \varphi_1 \cos \varphi_2$	$-i \sin \theta_1 \sin \theta_2 \cos \varphi_1 \sin \varphi_2$
$\Psi_c''^+$	$i \sin \theta_1 \sin \theta_2 \cos \varphi_1 \sin \varphi_2$	$-i \sin \theta_1 \sin \theta_2 \sin \varphi_1 \cos \varphi_2$
Ψ_e^+	1	$\cos \theta_1 \cos \theta_2$
Ψ_f^+	–	1

Нет поляризации — нет интерференции волн!

[Вернуться](#)

$$\overline{\Psi_a^+ \Psi_b^+} = \frac{1}{16\pi^2} \int_0^{4\pi} \int_0^{4\pi} \cos \theta_1 \cos \theta_2 d\Omega_1 d\Omega_2 = 0.$$

Связь двух представлений упругой пр-реакции

Согласно обобщенному принципу Паули, амплитуда $\hat{f}_{\tau=1}(\theta)$ антисимметрична относительно замены $\theta \rightarrow \pi - \theta$ и перестановки проекций спинов двух частиц, а амплитуда $\hat{f}_{\tau=0}(\theta)$ - симметрична по отношению к этим операциям. Таким образом

$$\hat{f}_{\tau=1}(\theta) = -\hat{P}^{(1,2)} \hat{f}_{\tau=1}(\pi - \theta),$$

$$\hat{f}_{\tau=0}(\theta) = \hat{P}^{(1,2)} \hat{f}_{\tau=0}(\pi - \theta),$$

где
$$\hat{P}^{(1,2)} = \frac{1}{2} (\hat{I} + \vec{\sigma}_1 \vec{\sigma}_2)$$

оператор перестановки спиновых проекции

Отсюда следует формула

$$\hat{f}_{p_r \rightarrow p_r}(\theta) = -\hat{P}^{(1,2)} \hat{f}_{p_r \rightarrow p_r}(\pi - \theta)$$



$$M(k', k) = M_0(k', k) \frac{1 - \hat{\tau}_1 \hat{\tau}_2}{4} + M_1(k', k) \frac{3 + \hat{\tau}_1 \hat{\tau}_2}{4} .$$

$$\begin{aligned} M_T(k', k) &= (a_T + b_T) + (a_T - b_T)(\hat{\sigma}_1 n)(\hat{\sigma}_2 n) + e_T(\hat{\sigma}_1 n + \hat{\sigma}_2 n) + \\ &+ (c_T + d_T)(\hat{\sigma}_1 m)(\hat{\sigma}_2 m) + (c_T - d_T)(\hat{\sigma}_1 l)(\hat{\sigma}_2 l) . \end{aligned}$$

Таблица: Свойства симметрии амплитуд упругого NN-рассеяния.

$T = 0$	$T = 1$
$a_0(\theta) = +a_0(\pi - \theta)$	$a_1(\theta) = -a_1(\pi - \theta)$
$b_0(\theta) = +c_0(\pi - \theta)$	$b_1(\theta) = -c_1(\pi - \theta)$
$c_0(\theta) = +b_0(\pi - \theta)$	$c_1(\theta) = -b_1(\pi - \theta)$
$d_0(\theta) = -d_0(\pi - \theta)$	$d_1(\theta) = +d_1(\pi - \theta)$
$e_0(\theta) = -e_0(\pi - \theta)$	$e_1(\theta) = +e_1(\pi - \theta)$



$$M = M_0 \frac{1 - \hat{\tau}_1 \hat{\tau}_2}{4} + M_1 \frac{3 + \hat{\tau}_1 \hat{\tau}_2}{4}.$$

NN-матрица разделяется на 4 независимых варианта:

$$M^{pp} = M_1 \frac{1}{4} (1 - \tau_{1,3} - \tau_{2,3} + \tau_{1,3} \tau_{2,3}),$$

$$M^{nn} = M_1 \frac{1}{4} (1 + \tau_{1,3} + \tau_{2,3} + \tau_{1,3} \tau_{2,3}),$$

$$M^{np \rightarrow np} = M^{pn \rightarrow pn} = \frac{1}{2} (M_1 + M_0) \frac{1}{2} (1 - \tau_{1,3} \tau_{2,3}),$$

$$M^{np \rightarrow pn} = M^{pn \rightarrow np} = \frac{1}{2} (M_1 - M_0) [\tau_{1+} \tau_{2-} + \tau_{1-} \tau_{2+}].$$

Оператор Бартлетта $\hat{P}_B^T = \frac{1}{2} (1 + \hat{\tau}_1 \hat{\tau}_2)$ инвертирует смысл обменного оператора:

$$\frac{1}{2} (1 - \tau_{1,3} \tau_{2,3}) = \frac{1}{2} (1 + \hat{\tau}_1 \hat{\tau}_2) \times [\tau_{1+} \tau_{2-} + \tau_{1-} \tau_{2+}].$$



Эта ошибка³ закладывается на уровне определений NN-формализма.

$$\sigma_{\text{tot}} = \sigma_0 - \frac{1}{2} \Delta\sigma_L (\vec{e}\vec{P}_n)(\vec{e}\vec{P}_p) - \frac{1}{2} \Delta\sigma_T (\vec{e} \times \vec{P}_n)(\vec{e} \times \vec{P}_p),$$

$$\Delta\sigma_L = \sigma(\Leftarrow) - \sigma(\Rightarrow), \quad \Delta\sigma_T = \sigma(\uparrow\downarrow) - \sigma(\uparrow\uparrow).$$

$$\text{Im} a(0) = \frac{k}{4\pi} \sigma_0,$$

$$\text{Im} b(0) = \text{Im} e(0) = -\frac{k}{8\pi} \Delta\sigma_T,$$

$$\text{Im} f(0) = -\frac{k}{8\pi} \Delta\sigma_L.$$

$$\text{Im} a^{\text{exch}}(0) = \frac{k}{4\pi} (\sigma_0^{(\text{pp})} - \sigma_0),$$

$$\text{Im} b^{\text{exch}}(0) = \text{Im} e^{\text{exch}}(0) = -\frac{k}{8\pi} (\Delta\sigma_T^{(\text{pp})} - \Delta\sigma_T),$$

$$\text{Im} f^{\text{exch}}(0) = -\frac{k}{8\pi} (\Delta\sigma_L^{(\text{pp})} - \Delta\sigma_L).$$

³F. Lehar, Quasi-elastic end elastic charge-exchange differential cross section: critical review, ЭЧАЯ. 2009. V. 40, № 6. P. 1526–1562. http://www1.jinr.ru/Pepan/2009-v40/v-40-6/03_leh.pdf